

# 胶子球候选者 $\theta/f_2(1720)$ 的 $D$ 波分量 和可能的实验检验\*

郁 宏 沈 齐 兴 王 旭

(中国科学院高能物理所, 北京)

## 摘要

本文讨论了  $J/\psi$  辐射衰变中胶子球候选者  $\theta/f_2(1720)$  的产生及其衰变。我们发现, 为了解释过程  $J/\psi \rightarrow \gamma + \theta$  的螺旋度振幅之比  $x$  和  $y$ , 除了  $\theta$  粒子的  $S$  波分量之外, 必须考虑两个  $D$  波分量 ( $l = 2, s = 0, 2$ ) 的贡献。我们还讨论了  $D'$  波分量 ( $l = 2, s = 2$ ) 是否存在的可能的实验检验。

## 一、引言

色力的标准理论 (QCD) 建议, 应该存在胶子束缚态(胶子球)。而  $J/\psi$  的辐射衰变是寻找胶子球的理想过程。在  $J/\psi \rightarrow \gamma\eta\eta, \gamma K\bar{K}$ ,  $\gamma\pi\pi$  反应中观测到的  $2^{++}$  介子  $\theta/f_2(1720)^{[1]}$  是一个公认的有希望的胶子球候选者。

文献 [2] 讨论了这个过程的螺旋度振幅。其结论是除  $\theta$  粒子的  $S$  波胶子球波函数外, 只需要混入一个  $D$  波分量 ( $l = 2, s = 0$ ), 就可以解释  $J/\psi \rightarrow \gamma + \theta$  的螺旋度振幅之比  $x$  和  $y$ 。但是, 我们没有发现有任何特殊的动力学原因压制第二个  $D$  波分量 ( $l = 2, s = 2$ )。在对文献 [2] 的第一个  $D$  波波函数作了某种改正之后, 同时又对量纲作了重新的考虑, 发现仅考虑一个  $D$  波分量的混入是不行的, 一般情况下方程式无解。必须同时考虑两个  $D$  波分量的混入, 方程式才能有解。选取一定的混合参数, 就可给出与实验值符合的螺旋度振幅之比  $x$  和  $y$ 。

在位势模型中<sup>[3]</sup>, 可以等效地把胶子看作有质量的矢量介子, 它们可以通过以下四种耦合方式 ( $l = 0, 2, 2, 4$ ; 相应的  $s = 2, 0, 2, 2$ ) 构成  $2^{++}$  胶子球。

对于过程  $J/\psi \rightarrow \gamma + \theta, \theta \rightarrow V_1 + V_2$  ( $V$  标志矢量介子), 其中  $(V_1 V_2)$  系统也有同样的四种耦合方式。同样也没有任何特别的动力学原因可以压制它们的第二个  $D$  波分量 ( $l = 2, s = 2$ )。而由这个过程的角分布, 我们可以判断第二个  $D$  波分量是否有贡献, 从而通过实验对我们的关于螺旋度振幅比的讨论作出检验。

\* 国家自然科学基金资助课题。  
本文 1989 年 4 月 13 日收到。

## 二、过程 $J/\psi \rightarrow \gamma + \theta$ 的螺旋度振幅之比 $x$ 和 $y$

在微扰 QCD 中, 到最低阶, 过程  $J/\psi \rightarrow \gamma + \theta(gg)$  可由图 1 中的三个 Feynman 图

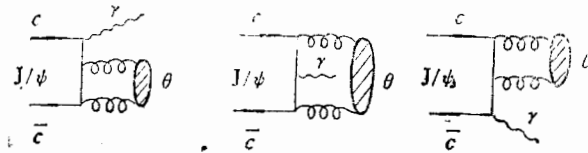


图 1 过程  $J/\psi \rightarrow \gamma + \theta(gg)$  的最低阶费曼图

描写。相应的  $S$  矩阵元可写作:

$$\begin{aligned} \langle \gamma_{\lambda_\gamma} \theta_A | T | J_{\lambda_J} \rangle = & (2\pi)^4 \delta^4(p_J - p_\gamma - p_\theta) \frac{e g^2}{3 \sqrt{6\omega_\gamma}} e^{\lambda_\gamma^*}(p_\gamma) \delta_{ab} \\ & \cdot \int d^4x_1 d^4x_2 \text{Tr} \{ \chi_{\lambda_\gamma}(0, x_1) \gamma^\alpha S_F(x_1 - x_2) \gamma^\beta S_F(x_2) \gamma^\mu \\ & + \chi_{\lambda_J}(x_1, x_2) \gamma^\beta S_F(x_2) \gamma^\mu S_F(-x_1) \gamma^\alpha \\ & + \chi_{\lambda_J}(x_2, 0) \gamma^\mu S_F(-x_1) \gamma^\alpha S_F(x_1 - x_2) \gamma^\beta \} \cdot G_{\alpha\beta}^{ab}(x_1, x_2)_A, \end{aligned} \quad (1)$$

其中  $\chi_{\lambda_\gamma}(x_1, x_2)$  是  $J/\psi$  粒子的波函数,

$$\begin{aligned} \chi_{\lambda_\gamma}(x_1, x_2) = & \frac{\sqrt{m_J}}{2\sqrt{2E_J}} \phi_J(0) e^{-ip_J X} \left[ 1 + \frac{\hat{p}_J}{m_J} \right] \delta^{\lambda_J}(p_J); \\ X = & \frac{1}{2}(x_1 + x_2), \quad x = x_1 - x_2, \end{aligned} \quad (2)$$

$G_{\alpha\beta}^{ab}(x_1, x_2)_A$  是胶子球  $\theta$  的波函数。取  $\theta$  粒子静止系, 过程的螺旋度振幅可以定义为

$$\langle \gamma_{\lambda_\gamma} \theta_A | T | J_{\lambda_J} \rangle = (2\pi)^4 \delta^4(p_J - p_\gamma - p_\theta) \frac{e}{(8\omega_\gamma m_\theta E_J)^{1/2}} T_A, \quad (3)$$

这里,  $\lambda_J$ 、 $\lambda_\gamma$  和  $A$  分别是  $J$ 、 $\gamma$  和  $\theta$  粒子的螺旋度。由于宇称守恒条件, 独立的  $T_A$  只有三个:  $T_2$ 、 $T_1$  和  $T_0$ 。螺旋度振幅之比定义为

$$x = T_1/T_0, \quad y = T_2/T_0. \quad (4)$$

拟合实验数据, 文献 [4] 给出

$$\begin{cases} x = -1.07 \pm 0.16 \\ y = -1.09 \pm 0.15. \end{cases} \quad (5)$$

胶子球  $\theta$  的  $S$  波和两个  $D$  波波函数可分别取为(为简单起见,  $G$  波可不考虑):

$S$  波,

$$G_{\alpha\beta}^{ab}(x_1, x_2)_A = e^{ip_\theta \cdot X} \frac{1}{\sqrt{2m_\theta}} \sum_{m_1 m_2} C_{|m_1| m_2}^{2-A} e_\alpha^{m_1^*} e_\beta^{m_2^*} \delta^{ab} G_s(0), \quad (6)$$

$D$  波 ( $l = 2, s = 0$ ),

$$G_{\alpha\beta}^{ab}(x_1, x_2)_A = e^{ip_\theta \cdot X} \frac{1}{\sqrt{2m_\theta}} \sum_{m_1, m_2, m_3, m_4} C_{002M}^{2-A} C_{|m_1| m_4}^{00} C_{|m_3| m_4}^{2M}$$

$$\cdot e_{\alpha}^{m_1^*} e_{\beta}^{m_2^*} (x \cdot e^{m_3^*}) (x \cdot e^{m_4^*}) m_{\theta}^2 \delta^{ab} G_d(0), \quad (7)$$

*D'* 波 ( $l = 2, s = 2$ ),

$$G_{\alpha\beta}^{ab}(x_1, x_2)_A = e^{ip_{\theta} \cdot x} \frac{1}{\sqrt{2m_{\theta}}} \sum_{\substack{m_1, m_2, m_3 \\ m_4, M_1, M_2}} C_{2M_1 M_2}^{2-4} C_{|m_1| m_2}^{2M_1} \\ \cdot C_{1m_3 1m_4}^{2M_2} e_{\alpha}^{m_1^*} e_{\beta}^{m_2^*} (x \cdot e^{m_3^*}) (x \cdot e^{m_4^*}) m_{\theta}^2 \delta^{ab} G_{d'}(0). \quad (8)$$

如文献[5], 因为粲夸克质量  $m_c$  远比  $J/\psi$  粒子及  $\theta$  粒子中的组元的内部运动动量大, 所以  $J/\psi$  粒子和  $\theta$  粒子的内部波函数近似取为其零点波函数。这里, 球极化矢量为

$$e^{+1} = \frac{-1}{\sqrt{2}} \begin{pmatrix} 0 \\ 1 \\ i \\ 0 \end{pmatrix}, \quad e^{-1} = \frac{1}{\sqrt{2}} \begin{pmatrix} 0 \\ -1 \\ -i \\ 0 \end{pmatrix}, \quad e^0 = \begin{pmatrix} 0 \\ 0 \\ 0 \\ 1 \end{pmatrix} \quad (9)$$

显然,  $\alpha$  和  $\beta$  的 0 分量均为 0, 只需考虑它的 1、2、3 分量。这是与文献[2]的(10)式不同的。同时由式(6)、(7)和(8)可见, 我们定义的  $G_s(0)$ 、 $G_d(0)$  和  $G_{d'}(0)$  具有相同的量纲。把(2)、(6)、(7)和(8)式代入(1)式并和(3)式比较可以得到:

*S* 波:

$$T_{2s} = \frac{32g^2\phi_J(0)}{3\sqrt{3}m_c^4} \sqrt{m_J} \left[ \frac{m_{\theta}m_c}{m_J} p_J - m_c^2 \right] G_s(0) = t_{2s} G_s(0), \\ T_{1s} = \frac{16\sqrt{2}g^2\phi_J(0)}{3\sqrt{3}\sqrt{m_J}m_c^2} \left[ \frac{m_{\theta}}{m_Jm_c} (E_J + p_J)p_J - E_J - \frac{m_{\theta}p_J^2}{\left( m_c^2 + \frac{1}{4}m_J^2 - \frac{1}{2}m_{\theta}^2 \right)} \right] G_s(0) \\ = t_{1s} G_s(0), \\ T_{0s} = \frac{16\sqrt{\frac{m_J}{2}}}{9\sqrt{2}m_c^2} g^2\phi_J(0) \left[ \frac{2}{m_c^2} \left( \frac{2m_c}{m_J} p_J^2 + \frac{m_{\theta}m_c}{m_J} p_J - m_c^2 \right) \right. \\ \left. - \frac{\left( 4\frac{m_c}{m_J} + 2 \right) p_J^2}{\left( m_c^2 + \frac{1}{4}m_J^2 - \frac{1}{2}m_{\theta}^2 \right)} \right] G_s(0) = t_{0s} G_s(0). \quad (10)$$

*D* 波:

$$T_{2d} = -\frac{64\sqrt{\frac{m_J}{2}}m_{\theta}^2}{9m_c^4} g^2\phi_J(0) G_d(0) = t_{2d} G_d(0), \\ T_{1d} = -\frac{64m_{\theta}^2}{9\sqrt{2}m_c^4\sqrt{m_J}} g^2\phi_J(0) \left( E_J + \frac{m_{\theta}p_J^2}{m_c^2 + \frac{1}{4}m_J^2 - \frac{1}{2}m_{\theta}^2} \right) G_d(0) \\ = t_{1d} G_d(0), \\ T_{0d} = \frac{16\sqrt{\frac{2}{3}}\sqrt{\frac{m_J}{2}}m_{\theta}^2}{9\sqrt{3}m_c^4} g^2\phi_J(0) \left\{ \left[ \frac{3}{m_c^2} p_J^2 \left( m_{\theta}p_J - 2\frac{m_c}{m_J}m_{\theta}E_J + 4m_c^2 \right) \right. \right. \\ \left. \left. - \left( 1 + \frac{p_J^2}{m_c^2} \right) \left( 4\frac{m_c}{m_J} + 2 \right) p_J^2 \right] \right\} \left/ \left( m_c^2 + \frac{1}{4}m_J^2 - \frac{1}{2}m_{\theta}^2 \right) \right.$$

$$\begin{aligned}
 & + 4 \frac{p_J^2}{m_c^4} \left( \frac{m_c}{m_J} p_J^2 + \frac{m_c}{2m_J} m_\theta p_J - \frac{m_c^2}{2} \right) - 2 \Big\} G_d(0) \\
 & = t_{0d} G_d(0). \tag{11}
 \end{aligned}$$

$D'$  波:

$$\begin{aligned}
 T_{2d'} &= \frac{64\sqrt{m_J} m_\theta^2}{9\sqrt{7} m_c^4} g^2 \psi_J(0) \left[ 7 - \frac{2}{m_c^4} p_J^2 \left( \frac{m_\theta m_c}{m_J} p_J - m_c^2 \right) \right] G_{d'}(0) \\
 &= t_{2d'} G_{d'}(0), \\
 T_{1d'} &= \frac{64 m_\theta^2}{9\sqrt{14} m_c^4 \sqrt{m_J}} g^2 \psi_J(0) \left\{ 7E_J + \frac{m_\theta p_J^2}{m_c^2 + \frac{1}{4} m_J^2 - \frac{1}{2} m_\theta^2} \left( 7 - \frac{p_J^2}{m_c^2} \right) \right. \\
 &\quad \left. + \frac{p_J^2}{m_c^2} \left[ \frac{m_\theta}{m_J m_c} p_J(p_J + E_J) - E_J \right] \right\} G_{d'}(0) = t_{1d'} G_{d'}(0), \\
 T_{0d'} &= \frac{64}{9} \sqrt{\frac{2}{21}} \frac{\sqrt{m_J} m_\theta^2}{m_c^4} g^2 \psi_J(0) \left\{ \frac{7}{2} + \frac{2p_J^4}{m_J m_c^3} + \frac{m_\theta p_J^3}{m_J m_c^3} - \frac{p_J^2}{m_c^2} \right. \\
 &\quad \left. + \left( \frac{m_c}{m_J} + \frac{1}{2} \right) \left( 7 - \frac{2p_J^2}{m_c^2} \right) p_J^2 / \left( m_c^2 + \frac{1}{4} m_J^2 - \frac{1}{2} m_\theta^2 \right) \right\} G_{d'}(0) \\
 &= t_{0d'} G_{d'}(0). \tag{12}
 \end{aligned}$$

考虑  $S$  波和两个  $D$  波的混合, 则我们有

$$\begin{aligned}
 T_2 &= T_{2s} + aT_{2d} + bT_{2d'}, \\
 T_1 &= T_{1s} + aT_{1d} + bT_{1d'}, \\
 T_0 &= T_{0s} + aT_{0d} + bT_{0d'}, \tag{13}
 \end{aligned}$$

其中  $a$  和  $b$  为两个混合参数。设

$$G_d(0) = cG_s(0), \quad G_{d'}(0) = dG_s(0), \tag{14}$$

则  $A = ac$  和  $B = bd$  为两个新的参数, 这样(13)式成为

$$\begin{cases} T_2 = (t_{2s} + At_{2d} + Bt_{2d'})G_s(0), \\ T_1 = (t_{1s} + At_{1d} + Bt_{1d'})G_s(0), \\ T_0 = (t_{0s} + At_{0d} + Bt_{0d'})G_s(0). \end{cases} \tag{15}$$

由定义(4), 我们有

$$\begin{cases} x = (t_{1s} + At_{1d} + Bt_{1d'})/(t_{0s} + At_{0d} + Bt_{0d'}), \\ y = (t_{2s} + At_{2d} + Bt_{2d'})/(t_{0s} + At_{0d} + Bt_{0d'}). \end{cases} \tag{16}$$

把  $x$  和  $y$  的实验值(5)式代入方程式(16), 给定一个  $m_c$  值, 解方程总可得到一组  $A$  和  $B$ .

表1 对应不同  $x$  和  $y$  值的  $A$  和  $B$  两个参数和  $m_c$  值的关系

1.1  $x = -1.07$   $y = -1.09$

$m_c(\text{GeV})$	1.2	1.3	1.4	1.5	1.6
$-A$	0.16	0.18	0.18	0.19	0.18
$B$	0.02	0.02	0.03	0.04	0.06

1.2  $x = -1.07$   $y = -1.21$ 

$m_c(\text{GeV})$	1.2	1.3	1.4	1.5	1.6
$-A$	0.13	0.14	0.14	0.14	0.14
$B$	0.02	0.03	0.04	0.05	0.07

1.3  $x = -0.91$   $y = -1.21$ 

$m_c(\text{GeV})$	1.2	1.3	1.4	1.5	1.6
$-A$	0.09	0.10	0.10	0.10	0.10
$B$	0.03	0.03	0.04	0.06	0.07

部份结果见表 1.1—3。若只有  $S$  波和一个  $D$  波混合，即  $A = 0$  或者  $B = 0$ ，在实验值  $x$  和  $y$  的误差范围内，方程式(16)一般无解。由表 1.1—3 可见， $D$  波所占比重随  $m_c$  的变化不大，而  $D'$  波所占比重随  $m_c$  的增加而增加。在某种情况下，如取  $x = -0.91$ ,  $y = -1.21$ ,  $m_c = 1.6 \text{ GeV}$ ，则两种  $D$  波所占比重差不多。

### 三、 $D'$ 波分量 ( $l=2, s=2$ ) 存在的可能的实验检验

讨论过程  $J/\psi \rightarrow \gamma + \theta$ ,  $\theta \rightarrow V_1 + V_2$ , 其中  $V$  标志矢量介子(如  $\rho$  介子),  $P$  标志赝标介子(如  $\pi$  介子)。目前，还没有看到这种衰变道。实验只给出了它们的分支比的上限<sup>[4]</sup>:  $B(J/\psi \rightarrow \gamma\theta) \cdot B(\theta \rightarrow \rho\rho) < 5.5 \times 10^{-4}$ ，和  $B(J/\psi \rightarrow \gamma\theta) = (1.3 \pm 0.14) \times 10^{-3}$  相比，我们相信，只要  $J/\psi$  的事例数增加一个量级，如北京正负电子对撞机所预期的，那么这个衰变道将能够观察到。这个过程相应的衰变矩阵元是

$$\begin{aligned} \langle s_1 \lambda_1, s_2 \lambda_2 q Q | m | J A; \lambda_1 \lambda_2 \rangle &= a_{\lambda_1 \lambda_2} D_{-\lambda_1 - \lambda_2}^{J*}(\phi, \theta, 0), \\ \langle k_1 Q_1 | m | s_1 \lambda_1 \rangle &= F_1 D_{\lambda_1, 0}^{s_1^*}(\phi_1, \theta_1, 0), \\ \langle k_3 Q_3 | m | s_2, \lambda_2 \rangle &= F_2 D_{\lambda_2, 0}^{s_2^*}(\phi_3, \theta_3, 0), \end{aligned} \quad (17)$$

其中  $\lambda_1$  和  $\lambda_2$  为矢量介子  $V_1$  和  $V_2$  的螺旋度， $J = 2$ ,  $s_1 = s_2 = 1$ ;  $q$  和  $Q$  是  $V_1$  在  $\theta$  静止系中的动量及其方位， $z$  轴取  $J/\psi$  静止系中  $\gamma$  出射方向； $k_1$  和  $Q_1$  是  $P_1$  在  $V_1$  静止系中的动量及其方位， $z$  轴取  $\theta$  静止系中  $V_1$  的运动方向； $k_3$  和  $Q_3$  是  $P_2$  在  $V_2$  静止系中的动量及其方位， $z$  轴取  $\theta$  静止系中  $V_2$  的运动方向。 $a_{\lambda_1 \lambda_2}$ ,  $F_1$  和  $F_2$  分别为  $\theta$ 、 $V_1$  和  $V_2$  衰变过程的螺旋度振幅。 $F_1$  和  $F_2$  为常量。对于  $2^{++}$   $\theta$  粒子，由宇称守恒，我们有关系式

$$a_{-\lambda_1, -\lambda_2} = a_{\lambda_1, \lambda_2}. \quad (18)$$

若  $V_1$  和  $V_2$  为全同粒子(如  $\rho^0 \rho^0, \phi \phi$ )，有

$$a_{\lambda_1, \lambda_2} = a_{\lambda_2, \lambda_1}. \quad (19)$$

于是独立的螺旋度振幅共有四个:  $a_{++}, a_{+-}, a_{+0}, a_{00}$ 。若  $V_1$  和  $V_2$  不是全同粒子, 则(19)式不成立, 独立的螺旋度振幅有 5 个:  $a_{++}, a_{+-}, a_{+0}, a_{0+}, a_{00}$ 。

设  $\chi = \phi_1 + \phi_3$  为  $V_1$  和  $V_2$  衰变平面的夹角, 类似于文献[6]的结果,  $\chi$  分布的一般形式为

$$F(\chi) = 1 + \beta \cos 2\chi. \quad (20)$$

其中

$$\beta = 2|a_{++}|^2 / [2|a_{++}|^2 + |a_{00}|^2 + 2|a_{+0}|^2 + 2|a_{0+}|^2 + 2|a_{+-}|^2]. \quad (21)$$

$\theta_1$  分布的形式为

$$G(\theta_1) = 1 + \zeta P_2(\cos \theta_1), \quad (22)$$

其中

$$\begin{aligned} \zeta &= \frac{2[|a_{00}|^2 - |a_{++}|^2 - |a_{+-}|^2 + 2|a_{+0}|^2 - |a_{0+}|^2]}{2|a_{++}|^2 + |a_{00}|^2 + 2|a_{+0}|^2 + 2|a_{0+}|^2 + 2|a_{+-}|^2} \\ P_2(\cos \theta_1) &= \frac{1}{2}(3 \cos \theta_1 - 1). \end{aligned} \quad (23)$$

由文献[7], 我们有

$$\langle JA; ls | JA; \lambda_1 \lambda_2 \rangle = \left( \frac{2l+1}{2J+1} \right)^{1/2} (l \cos \lambda | J \lambda)(s_1 \lambda_1 s_2 - \lambda_2 | s \lambda), \quad (24)$$

这是过程  $\theta \rightarrow V_1 + V_2$  的螺旋度表示和自旋-轨道耦合表示本征矢之间的关系。 $l$  和  $s$  为( $V_1 V_2$ )系统的轨道角动量和总自旋量子数。由式(17)和(24), 对一定的  $(J, l, s)$  值, 我们可以得到对应的各种螺旋度振幅的值, 并可由(21)及(23)式算出角分布参数  $\beta$  和  $\zeta$ , 结果见表 2。从表 2 可见, 只要  $D'$  波不被禁戒掉, 过程的  $\theta_1$  角分布就不会与  $\theta_1$  无关。这就从实验上提供了判断有任何禁戒  $D'$  波的动力学原因存在的证据。也可间接地检验我们在第二部分所作的讨论。

表 2 对应  $S$  波及两个  $D$  波的螺旋度振幅及角分布参数

$J$	$l$	$s$	$a_{++}$	$a_{00}$	$a_{+0}$	$a_{0+}$	$a_{+-}$	$\beta$	$\zeta$
2	0	2	$\sqrt{\frac{1}{30}}$	$\sqrt{\frac{2}{15}}$	$\sqrt{\frac{1}{10}}$	$\sqrt{\frac{1}{10}}$	$\sqrt{\frac{1}{5}}$	$\frac{1}{15}$	0
2	2	0	$\sqrt{\frac{1}{3}}$	$-\sqrt{\frac{1}{3}}$	0	0	0	$\frac{2}{3}$	0
2	2	2	$-\sqrt{\frac{1}{21}}$	$-\frac{2}{\sqrt{21}}$	$-\sqrt{\frac{1}{28}}$	$-\sqrt{\frac{1}{28}}$	$\sqrt{\frac{2}{7}}$	$\frac{2}{21}$	$-3/14$

#### 四、结 论

我们讨论了过程  $J/\psi \rightarrow \gamma + \theta$ ,  $\theta \rightarrow V_1 + V_2$ ,  $V_1 \rightarrow P_1 + P_2$  和  $V_2 \rightarrow P_3 + P_4$ 。把  $\theta$  作为纯  $2^{++}$  胶子球, 只有在考虑了  $D$  波和  $D'$  波对  $S$  波的混入之后, 我们才能正确地解释实验给出的过程的螺旋度振幅之比  $x$  和  $y$  的值。并且从过程的  $\theta_1$  角分布, 提供了判断是否有任何禁戒  $D'$  波的动力学原因的可能的实验检验。只要实验上发现过程的  $\theta_1$  角分

布与 $\theta_1$ 有关,而且 $\zeta$ 参数近似等于 $(-3/14)$ ,那么就不能不考虑 $D'$ 波的贡献,也就间接地对我们关于过程螺旋度振幅之比的讨论给予了支持.

### 参 考 文 献

- [1] C. Edwarde et al., *Phys. Rev. Lett.*, **48**(1982), 458.
- R. M. Baltrusaitus et al., *Phys. Rev. Lett.*, **56**(1986), 107.
- [2] B. A. Li, Q. X. Shen and K. F. Liu, *Phys. Rev.*, **D35**(1987), 1070.
- [3] D. Robson, *Nucl. Phys.*, **B130** (1977), 328.
- [4] G. Eigen, CALT-68-1483(1987).
- [5] B. A. Li and Q. X. Shen, *Phys. Lett.*, **B126** (1983), 125.
- [6] T. L. Trueman, *Phys. Rev.*, **D18**(1978), 3423.
- [7] M. Jacob and G. C. Wick, *Ann. Phys. (N. Y.)* **7** (1959), 404.

## **D WAVE COMPONENTS OF THE GLUEBALL CANDIDATE $\theta/f_2$ (1720) AND POSSIBLE EXPERIMENTAL TEST**

YU HONG, SHEN QIXING, WANG XU

(Institute of High Energy Physics, Academia Sinica, Beijing)

### ABSTRACT

In this paper we discuss the production and decay of the glueball candidate  $\theta/f_2$  (1720) in the  $J/\psi$  radiative decay. We find that in order to explain the helicity amplitude ratios  $x$  and  $y$  of the process  $J/\psi \rightarrow \gamma + \theta$ , the contribution of two  $D$  wave components ( $l=2, S=0, 2$ ) has to be considered in addition to the  $S$  wave component. We also discuss the possible experimental test for the existence of the  $D'$  wave component ( $l=2, S=2$ ).